



# การวิเคราะห์เสถียรภาพระบบประมาณค่าความเร็วของการควบคุมแบบไร้เซนเซอร์สำหรับขับเคลื่อนมอเตอร์เหนี่ยวนำ

## Stability Analysis Estimated Speed System of Sensorless Control for Induction Motor Drive

ณัฐพงศ์ เมืองจันทร์\* และ วิจิตร กิณเรศ\*\*

Nuttapong Muangchan and Vijit Kinnares

\*ภาควิชาวิศวกรรมไฟฟ้า คณะวิศวกรรมศาสตร์ มหาวิทยาลัยอีสเทิร์นเอเซีย

\*\*ภาควิชาวิศวกรรมไฟฟ้า คณะวิศวกรรมศาสตร์ สถาบันเทคโนโลยีพระจอมเกล้าเจ้าคุณทหารลาดกระบัง

### บทคัดย่อ

บทความนี้นำเสนอการวิเคราะห์เสถียรภาพของระบบควบคุมแบบเวกเตอร์ไร้เซนเซอร์วัดความเร็วบนระบบจำลองอ้างอิงแบบปรับตัว โดยนำความแตกต่างของสถานะฟลักซ์โรเตอร์ที่ได้จากแบบจำลองแรงดันและที่ได้จากแบบจำลองกระแสเข้าไปปรับเอาต์พุตของค่าประมาณความเร็วรอบโดยผ่านกระบวนการควบคุมแบบพีไอ โดยแนวทางวิเคราะห์เสถียรภาพได้อาศัยการออกแบบอัตราขยายระบบประมาณค่าความเร็ว โดยพิจารณาถึงความเร็วประมาณคิดตามความเร็วจริงในช่วงมอเตอร์เปลี่ยนความเร็วรอบ ในการวิเคราะห์เสถียรภาพของการออกแบบอัตราขยายนี้ได้นำไปทดสอบระบบจริงกับมอเตอร์เหนี่ยวนำ 3 เฟส โดยควบคุมผ่านชุดประมวลผลสัญญาณดิจิทัล ซึ่งจากการทดสอบพบว่าเป็นไปตามแนวคิดที่ได้นำเสนอและให้สมรรถนะการตอบสนองทางพลวัตที่ดี

### มหาวิทยาลัยเชียงใหม่

### ABSTRACT

This paper describes the stability analysis of a speed sensorless vector control system based on a model reference adaptive system (MRAS). The estimated speed is derived from the difference of the rotor flux state resulting from voltage and current models which is passed through the PI controller. The stability analysis guideline based on design of the estimate gain considers the estimated speed for a motor speed change. The stability analysis of a gain design to experimental test with a 3-phase induction motor by digital signal processor controller. The experimental results show that the proposed concept can be used for drive applications with satisfied results and good dynamic performance is demonstrated.

### 1. บทนำ

การควบคุมแบบไร้เซนเซอร์วัดความเร็ว เป็นข้อดีของระบบการควบคุมของมอเตอร์เหนี่ยวนำ สามารถลดค่าใช้จ่ายในการจัดซื้ออุปกรณ์เซนเซอร์วัดความเร็ว อีกทั้งอุปกรณ์ดังกล่าวนี้ยังมีข้อจำกัดบางประการ เช่น ราคาแพง

ติดตั้งยากในกรณีที่มีพื้นที่จำกัด การควบคุมแบบไร้เซนเซอร์นี้ มีหลายวิธีด้วยกัน เช่น การคำนวณโดยตรงจากความถี่สลิป[1] การประมาณจากตัวสังเกตแบบเต็มอันดับ[6] การประมาณด้วยระบบจำลองอ้างอิงแบบปรับตัว[2][5] ซึ่งในแต่ละวิธีการดังที่กล่าวมาจะมีหลักการและวิธีการประมาณที่แตกต่างกันออกไป สิ่งสำคัญคือ

ความมีเสถียรภาพของระบบประมาณค่าความเร็วนั้นๆ จะให้ผลการตอบสนองของระบบโดยรวมที่มีเสถียรภาพอย่างไร ซึ่งจากบทความ [4,5] ได้วิเคราะห์การออกแบบอัตราขยายระบบประมาณค่าความเร็ว โดยอาศัยทางเดินรากของระบบประมาณค่าความเร็วซึ่งการวิเคราะห์สรุปได้ว่าสามารถใช้อัตราขยายที่มีค่ามากได้ โดยแบนด์วิดธ์ของระบบประมาณค่าความเร็วถูกจำกัดด้วยสัญญาณรบกวนแต่ยังไม่ได้แสดงการวิเคราะห์อัตราขยายระบบประมาณค่าความเร็วว่ามีเสถียรภาพมากน้อยเพียงใด และบทความ [6] ได้นำเสนอการเลือกอัตราขยายระบบประมาณค่าความเร็วเฉพาะบนตัวสังเกตเต็มอันดับ (Full-order observer) เท่านั้นและยังไม่ได้แสดงการวิเคราะห์ความมีเสถียรภาพของระบบประมาณค่าความเร็วให้เห็นอย่างชัดเจน

บทความนี้ได้นำเสนอการวิเคราะห์เสถียรภาพของระบบประมาณค่าความเร็วบนระบบจำลองอ้างอิงแบบปรับตัว (MRAS) โดยพิจารณาถึงความเร็วจากการประมาณติดตามความเร็วรอบจริงในช่วงมอเตอร์เปลี่ยนความเร็วโดยเงื่อนไขการออกแบบจะถูกกำหนดด้วยค่าความเร็วผิดพลาดและนำไปสู่การหาอัตราขยายแบบอินทิเกรตโดยที่อัตราขยายแบบสัดส่วนจะถูกพิจารณาจากคุณสมบัติของฟลักซ์โรเตอร์ ซึ่งเป็นผลทำให้สามารถเลือกค่าอัตราขยายปรับตัวที่เหมาะสมกับระบบประมาณค่าความเร็วได้ซึ่งการออกแบบจะแสดงได้ในหัวข้อต่อไป

## 2. แบบจำลองทางพลวัตของมอเตอร์เหนี่ยวนำ

แบบจำลองทางพลวัตของมอเตอร์เหนี่ยวนำชนิดกรงกระรอกโดยการต่อขดลวดแบบสตาร์ (Y) ที่อยู่บนแกนนิ่งเป็นดังสมการ (1) และ (2) [3]

$$\frac{di_s}{dt} = A_{11}i_s + A_{12}\lambda_r + B_1v_s \quad (1)$$

$$\frac{d\lambda_r}{dt} = A_{21}i_s + A_{22}\lambda_r \quad (2)$$

เมื่อ

$$A_{11} = -\left(\frac{R_s}{\sigma L_s} + \frac{1-\sigma}{\sigma\tau_r}\right)I$$

$$A_{12} = k\left(\frac{1}{\tau_r} - p\omega_m J\right) \quad A_{21} = \frac{M}{\tau_r}I$$

$$A_{22} = -\frac{1}{\tau_r}I + p\omega_m J \quad B_1 = \frac{1}{\sigma L_s}I$$

$$\sigma = 1 - \frac{M^2}{L_s L_r} \quad \tau_r \equiv \frac{L_r}{R_r} \quad k = \frac{M}{\sigma L_s L_r}$$

$$I = \begin{bmatrix} 1 & 0 \\ 0 & 1 \end{bmatrix} \quad J = \begin{bmatrix} 0 & -1 \\ 1 & 0 \end{bmatrix}$$

$v_s$  : สเปซเวกเตอร์ของแรงดันสเตเตอร์บนแกน  $\alpha - \beta$

$i_s$  : สเปซเวกเตอร์ของกระแสสเตเตอร์บนแกน  $\alpha - \beta$

$\lambda_r$  : สเปซเวกเตอร์ของฟลักซ์โรเตอร์บนแกน  $\alpha - \beta$

$R_s, R_r$  : ความต้านทานของขดลวดสเตเตอร์และโรเตอร์

$L_s, L_r$  : ความเหนี่ยวนำของขดลวดสเตเตอร์และโรเตอร์

$M$  : ความเหนี่ยวนำร่วมระหว่างขดลวดสเตเตอร์และโรเตอร์

$\sigma$  : สัมประสิทธิ์การรั่วไหล (Leakage coefficient)

$\omega_m$  : ความเร็วโรเตอร์ (Rotor speed)

$p$  : จำนวนคู่ของขั้วแม่เหล็ก (Number of pole pairs)

## 3. ระบบประมาณค่าความเร็ว

จากสมการ (1) และ (2) สามารถคำนวณหาค่า ฟลักซ์โรเตอร์ที่ได้จากแบบจำลองแรงดันและที่ได้จาก

แบบจำลองกระแสได้ดังสมการ (3) และ (4) [2]

แบบจำลองแรงดัน (Voltage Model) :

$$\lambda_r = \frac{L_r}{M} \left[ \frac{1}{s} (v_s - R_s i_s) - \sigma L_s i_s \right] \quad (3)$$

แบบจำลองกระแส (Current Model) :

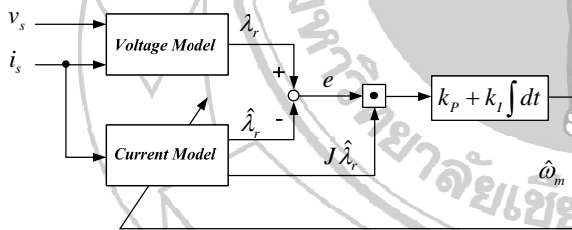
$$\hat{\lambda}_r = \frac{M}{1 + s\tau_r} i_s + J \frac{p\omega_m}{1 + s\tau_r} \tau_r \hat{\lambda}_r \quad (4)$$

เมื่อ  $s$  แทนตัวดำเนินการอนุพันธ์ (d/dt)

ผลต่างระหว่างฟลักซ์โรเตอร์ทั้งสองจะผ่านตัวควบคุมแบบพีไอดังรูปที่ 1 เพื่อประมาณความเร็วดังสมการ (5)

$$\hat{\omega}_m = (k_p + k_i/s) e^T J \hat{\lambda}_r \quad (5)$$

เราสามารถหาค่าความผิดพลาดของฟลักซ์โรเตอร์ได้ดังสมการ(6) และแสดงบล็อกไดอะแกรมวงรอบปิดซึ่งจะประกอบไปด้วยฟังก์ชันการโอนย้ายของค่าผิดพลาดฟลักซ์โรเตอร์และตัวควบคุมพีไอได้ดังรูปที่ 2



รูปที่ 1 ระบบจำลองอ้างอิงแบบปรับตัว (MRAS)

จากรูปที่ 2 แปลงระบบประมาณค่าความเร็วไปอยู่บนแกนหมุน ดังนั้นฟังก์ชันการโอนย้าย  $G(s)$  จะถูกแปลงเป็น  $G(sI + \omega_{mr}J)$  ดังสมการ (8) และ (9)

$$\begin{bmatrix} e_d \\ e_q \end{bmatrix} = G(sI + \omega_{mr}J) \begin{bmatrix} 0 \\ \hat{\lambda}_r \end{bmatrix} p(\omega_m - \hat{\omega}_m) \quad (8)$$

$$G(sI + \omega_{mr}J) = G'(s) = \begin{bmatrix} G'_{11}(s) & G'_{12}(s) \\ G'_{21}(s) & G'_{22}(s) \end{bmatrix} \quad (9)$$

เมื่อ  $|\hat{\lambda}_r|$  คือขนาดของฟลักซ์โรเตอร์ จากสมการ (9) ฟังก์ชันการโอนย้าย  $G'_{22}(s)$  เท่านั้นที่ถูกใช้ประมาณค่าความเร็วได้

$$G'_{22}(s) = \frac{s+x}{(s+x)^2 + (\omega_{mr}-y)^2} \quad (10)$$

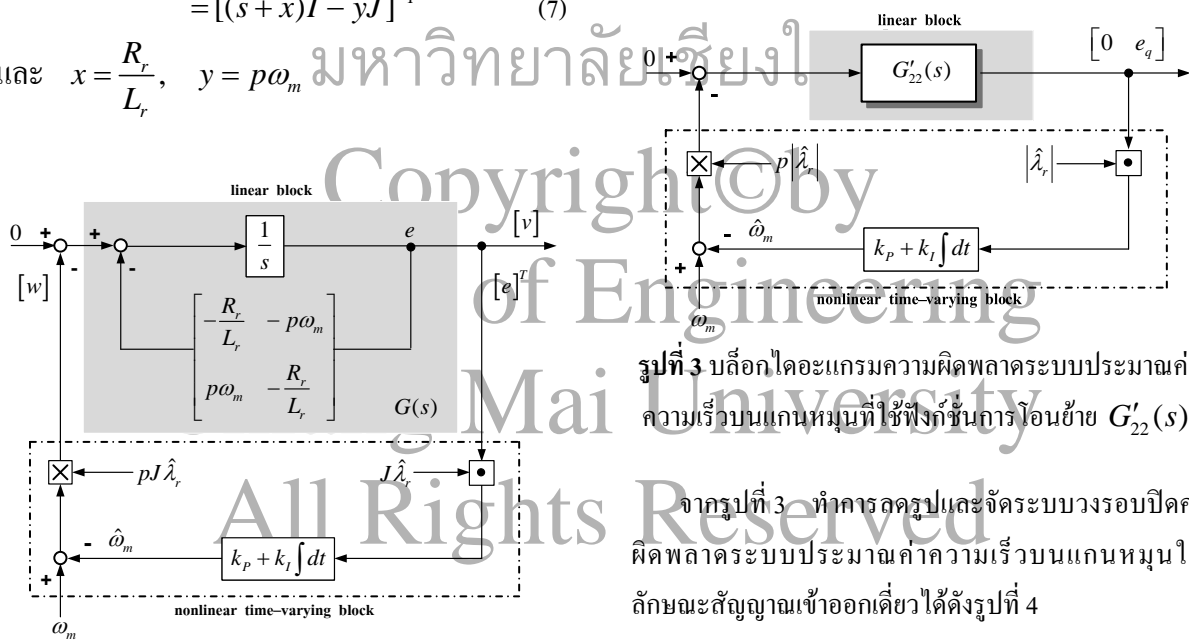
$$e = \lambda_r - \hat{\lambda}_r = G(s) p J \hat{\lambda}_r (\omega_m - \hat{\omega}_m) \quad (6)$$

เมื่อ

$$G(s) = \begin{bmatrix} G_{11}(s) & G_{12}(s) \\ G_{21}(s) & G_{22}(s) \end{bmatrix} = [(s+x)I - yJ]^{-1} \quad (7)$$

และ  $x = \frac{R_r}{L_r}$ ,  $y = p\omega_m$

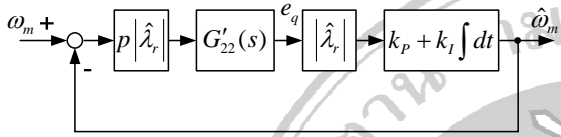
เราสามารถแสดงบล็อกไดอะแกรมความผิดพลาดระบบประมาณค่าความเร็วบนแกนหมุนของฟังก์ชันการโอนย้าย  $G'_{22}(s)$  ได้ดังรูปที่ 3



รูปที่ 2 บล็อกไดอะแกรมความผิดพลาดระบบประมาณค่าความเร็วบนแกนนี้

รูปที่ 3 บล็อกไดอะแกรมความผิดพลาดระบบประมาณค่าความเร็วบนแกนหมุนที่ใช้ฟังก์ชันการโอนย้าย  $G'_{22}(s)$

จากรูปที่ 3 ทำการลดรูปและจัดระบบวงรอบปิดค่าผิดพลาดระบบประมาณค่าความเร็วบนแกนหมุนในลักษณะสัญญาณเข้าออกเดียวได้ดังรูปที่ 4



รูปที่ 4 วงรอบปิดของระบบประมาณค่าความเร็วบนแกนหมุนในลักษณะสัญญาณเข้าออกเดียว (SISO)

#### 4. การวิเคราะห์เสถียรภาพของระบบประมาณค่าความเร็ว

ในทางปฏิบัตินั้นการเปลี่ยนแปลงความเร็วจริงของมอเตอร์มีลักษณะเป็นแรมปอยู่เป็นประจำ ในขณะที่มอเตอร์เปลี่ยนความเร็วนั้นแรงบิดที่มอเตอร์สร้างขึ้น ( $T_m$ ) จะมีค่าคงที่ที่ทำให้ความเร็วของมอเตอร์เพิ่มขึ้นหรือลดลงเป็นเชิงเส้น โดยมีค่าความชันเท่ากับ

$$R = \frac{d\omega_m}{dt} = \frac{T_m - T_L}{J_m} \quad \text{จึงทำให้ตัวควบคุมฟีดโอบของ}$$

ระบบประมาณค่าความเร็วไม่สามารถขจัดค่าความเร็วผิดพลาดให้มีค่าเป็นศูนย์ได้ ดังนั้นจึงทำการออกแบบโดยพิจารณาถึงผลตอบสนองของระบบประมาณค่าความเร็วโดยกำหนดความเร็วจริงมีลักษณะเป็นฟังก์ชันแรมป [6] จากรูปที่ 4 สามารถแสดงฟังก์ชันการโอนยั้งระหว่างความเร็วผิดพลาด ( $\omega_m - \hat{\omega}_m$ ) เทียบกับความเร็วจริง ( $\omega_m$ ) ได้ดังสมการ (11)

$$\frac{\omega_m(s) - \hat{\omega}_m(s)}{\omega_m(s)} = \frac{1}{1 + CG'_{22}(s) \cdot (k_p + k_I/s)} \quad (11)$$

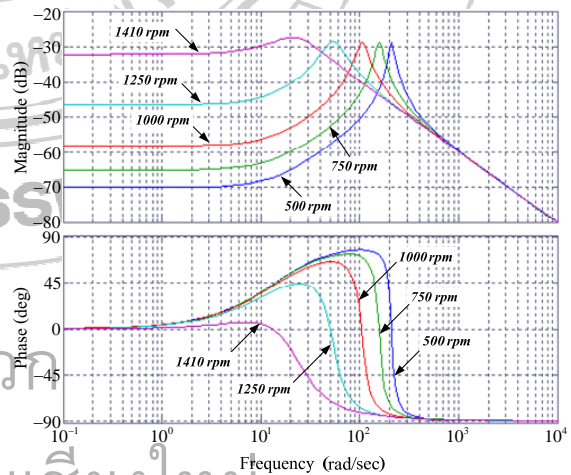
เมื่อ  $C = p|\lambda_r|^2$

จากทฤษฎีบทค่าสุดท้าย (Final value theorem)

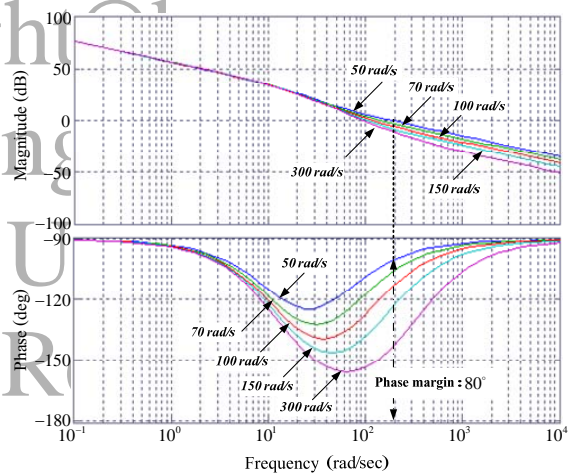
สามารถหาค่าความเร็วผิดพลาด ( $e_{ss}$ ) ในขณะที่เปลี่ยนความเร็วจะได้ดังสมการ (12)

$$e_{ss} = \lim_{s \rightarrow 0} \left[ s \cdot \frac{s \cdot \left[ \frac{T_m - T_L}{J_m s^2} \right]}{s + CG'_{22}(s) \cdot (sk_p + k_I)} \right] = \frac{T_m - T_L}{J_m CG'_{22}(s)|_{s=0} \cdot k_I} \quad (12)$$

จากสมการ (12) สังเกตจะเห็นว่าค่า  $k_I$  มากจะลดค่าความเร็วผิดพลาดได้ บทความนี้ได้เลือกค่า  $k_I = 30000$  ในขณะที่ไม่มีโหลด ( $T_L = 0$ ) และแทนค่าพารามิเตอร์จากตารางที่ 1 จะได้ค่า  $e_{ss} = 5$  rpm ส่วนการเลือกค่า  $k_p$  จะพิจารณาส่วนเพื่อเฟส (Phase margin) ของระบบประมาณค่าความเร็วโดยการเลือกค่าความถี่หักมุม จากรูปที่ 5 เลือก  $\omega_c = 50$  rad/s จะได้  $k_p = 600$  แสดงแผนภาพโบเดของระบบประมาณค่าความเร็ววงรอบเปิดจากการออกแบบได้ดังรูปที่ 6 ซึ่งพบว่ามีส่วนเพื่อเฟสอยู่ 80 องศา ซึ่งมากเพียงพอสำหรับเสถียรภาพการควบคุม



รูปที่ 5 แผนภาพโบเดของ  $G'_{22}(s)$  ที่จุดทำงานใดๆ



รูปที่ 6 แผนภาพโบเดของระบบประมาณค่าความเร็วจากการออกแบบ เมื่อ  $k_p = 500, k_I = 25000$

ตารางที่ 1 พิกัดและพารามิเตอร์ของมอเตอร์เหนี่ยวนำ

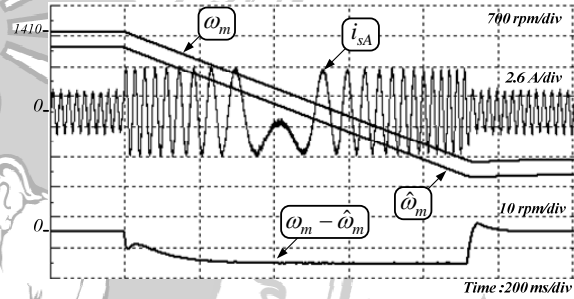
3HP, 220 / 380V, 8.9 / 5.16A, 1410 rpm, 4 Pole	
$i_{sd} = 1.8 \text{ A}$	$i_{sq} = 3.56 \text{ A}$
$R_s = 3.125 \Omega$	$R_r = 3.115 \Omega$
$L_s = 0.224 \text{ H}$	$L_r = 0.228 \text{ H}$
$M = 0.215 \text{ H}$	$J_m = 0.012 \text{ kg} \cdot \text{m}^2$

ตารางที่ 2 อัตรายาขระบบควบคุมที่ใช้ในการทดสอบ

อัตรายาขระบบควบคุมกระแส	$k_{cp} = 20, k_{ci} = 5000$
อัตรายาขระบบควบคุมความเร็ว	$k_{\omega p} = 0.6, k_{\omega i} = 6$
อัตรายาขระบบประมาณค่าความเร็ว	$k_p = 600, k_I = 30000$

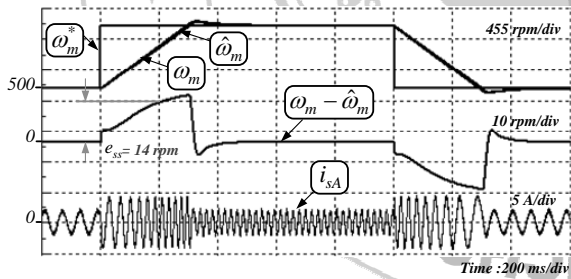
รูปที่ 9 ทดสอบขณะเปลี่ยนแปลงความเร็วของมอเตอร์

เมื่อ  $k_p = 100, k_I = 30000$



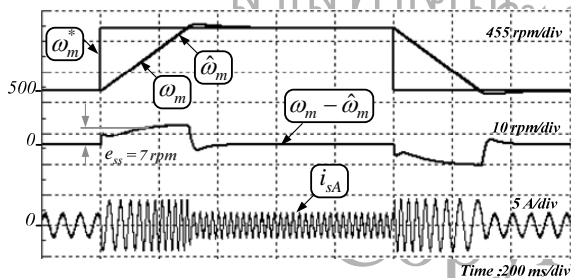
รูปที่ 10 ทดสอบขณะกลับทิศความเร็วของมอเตอร์

เมื่อ  $k_p = 600, k_I = 30000$



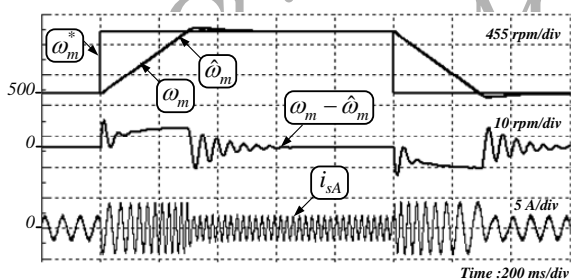
รูปที่ 7 ทดสอบขณะเปลี่ยนแปลงความเร็วของมอเตอร์

เมื่อ  $k_p = 600, k_I = 15000$



รูปที่ 8 ทดสอบขณะเปลี่ยนแปลงความเร็วของมอเตอร์

เมื่อ  $k_p = 600, k_I = 30000$

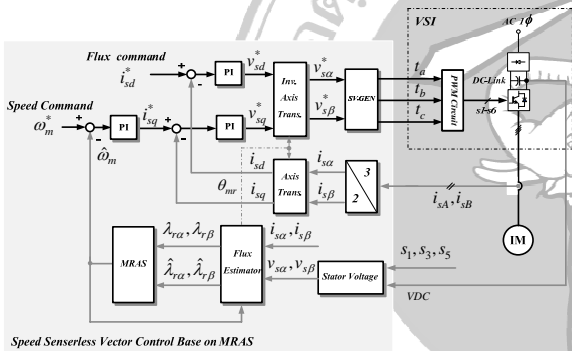


การเลือกค่าความถี่หักมุม ( $\omega_c$ ) ไม่ควรเลือกให้มีค่ามากกว่าหรือเท่ากับความถี่ปลั๊กซีโรเตอร์ ( $\omega_{mr} = 295 \text{ rad/s}$ ) เพราะจะทำให้ส่วนเฟส (Phase margin) ลดลง ส่งผลต่อเสถียรภาพทำให้ระบบประมาณค่าความเร็วแกว่งในที่สุด ซึ่งแสดงแผนภาพโบเดของระบบประมาณค่าความเร็วที่ค่าความถี่หักมุมใดๆ ได้ดังรูปที่ 6 ผลจากการจำลองโดยโปรแกรม Matlab/Simulink ในรูปที่ 7 ทดลองเลือกค่า  $k_I = 15000$  จะเห็นว่ามีค่า  $e_{ss} = 14 \text{ rpm}$  แต่เมื่อเพิ่มค่า  $k_I = 30000$  (ตามที่ออกแบบ) ดังรูปที่ 8 ค่าของ  $e_{ss} = 7 \text{ rpm}$  ซึ่งจะเห็นว่าค่าความเร็วผิดพลาดลงเป็น 2 เท่าของค่า  $k_I$  ที่เพิ่มขึ้นเป็นสองเท่า รูปที่ 9 ถ้าเลือก  $\omega_c > \omega_{mr}$  จะทำให้ระบบเกิดการแกว่งซึ่งสังเกตได้จาก  $e_{ss}$  เกิดการกระเพื่อมเมื่อเปรียบเทียบกับรูปที่ 8 และจากรูปที่ 10 ทดสอบขณะกลับทิศความเร็ว ซึ่งมอเตอร์ทำงานได้อย่างราบเรียบที่ค่า  $k_p = 600, k_I = 30000$

### 5. ผลการทดสอบ

เพื่อเป็นยืนยันความมีเสถียรภาพของระบบประมาณค่าความเร็วที่ได้นำเสนอ บทความนี้จึงได้ทดสอบระบบจริงกับมอเตอร์เหนี่ยวนำ 3 เฟสชนิดกรงกระรอก โดยใช้โมดูลสวิตช์ IGBT รุ่น PM30CSJ060 ความถี่สวิตช์ 5 kHz แรงดันบัลไฟตรง 310 V โดยควบคุมผ่านชุดประมวลผลผลสัญญาณดิจิทัล(DSP)รุ่น eZdsp2812 ซึ่งโครงสร้าง

ของระบบทดสอบแสดงได้ดังรูปที่ 11 พารามิเตอร์ของมอเตอร์ที่ใช้ทดสอบและอัตราขยายของระบบควบคุมแสดงตามตารางที่ 1 และ 2 ตามลำดับ

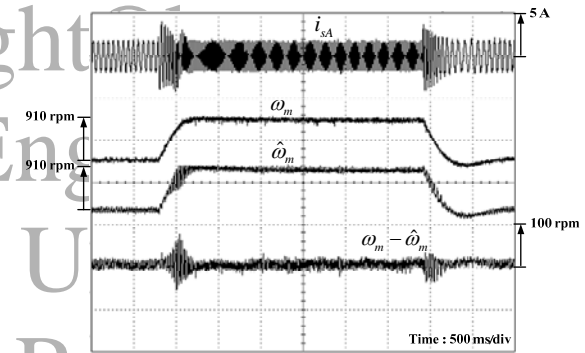


รูปที่ 11 ระบบควบคุมแบบเวกเตอร์ไร้เซนเซอร์วัดความเร็ว

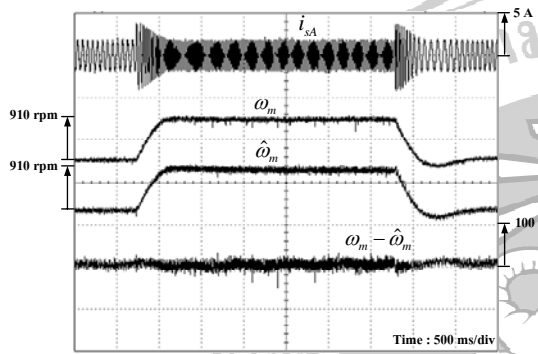
เมื่อกำหนดความถี่  $\omega_c > \omega_{mr}$  จะทำให้ระบบแกว่งได้ ในที่นี้ได้ทดลองเลือกค่า  $\omega_c = 300$  rad/s ซึ่งจะได้ค่า  $k_p = 100$  และนำมาพิจารณาบนแผนภาพโพลดังรูปที่ 6 จะเห็นว่าส่วนเฟสจะเหลืออยู่ประมาณ 15 องศา จากรูปที่ 12 ได้ทำการเลือกค่า  $k_p$  ดังที่กล่าวมาสังเกตเห็นว่าระบบประมาณค่าความเร็วเกิดการแกว่ง ความเร็วผิดพลาด ( $\omega_m - \hat{\omega}_m$ ) มีค่ามากในขณะที่มอเตอร์เริ่มเปลี่ยนความเร็วและขณะกำลังเข้าสู่ภาวะอยู่ตัวซึ่งจะเห็นความแตกต่างอย่างชัดเจนเมื่อเปรียบเทียบกับรูปที่ 13 ซึ่งใช้ค่าความถี่  $\omega_c < \omega_{mr}$  ( $\omega_c = 50$  rad/s) จากรูปที่ 14 และ 15 เป็นผลการทดสอบของการเปลี่ยนค่า  $k_p$  ซึ่งจากรูปที่ 14 ทดสอบในขณะกลับทิศความจจาก 1410 ถึง -1410 rpm โดยกำหนด  $k_I = 15000$  จะได้ค่า  $e_{ss} = 40$  rpm แต่เมื่อกำหนดค่า  $k_I = 30000$  ดังรูปที่ 15 จะได้ค่าของ  $e_{ss} = 20$  rpm (คิดจากค่าเฉลี่ย) จะสังเกตเห็นว่าความเร็วผิดพลาดลดลงเมื่อ  $k_I$  มีค่าเพิ่มขึ้นซึ่งเป็นไปตามสมการ (12) จากรูปที่ 16 และ 17 ทดสอบในสภาวะอยู่ตัวและสภาวะการตอบสนองต่อโหลดแบบขั้นตามลำดับ ซึ่งมอเตอร์ทำงานได้อย่างราบเรียบที่ค่า  $k_p = 600, k_I = 30000$

## 6. บทสรุป

การวิเคราะห์เสถียรภาพของการควบคุมแบบไร้เซนเซอร์สำหรับขับเคลื่อนมอเตอร์เหนี่ยวนำ จากการทดสอบกับระบบจริงพบว่าอัตราขยายแบบอินทิเกรตจะเป็นตัวกำหนดค่าความเร็วผิดพลาดของระบบประมาณค่าความเร็วซึ่งมีแนวโน้มเป็นไปตามสมการ(13) และอัตราขยายแบบสัดส่วนจะเป็นตัวกำหนดขนาดของสัญญาณรบกวนและควมมีเสถียรภาพของระบบ การเลือกค่าความถี่หักมุมจึงเป็นสิ่งสำคัญเนื่องจากเป็นตัวกำหนดอัตราขยายแบบสัดส่วนเพื่อไม่ให้ส่วนเฟสของระบบประมาณค่าความเร็วมีค่าน้อยเกินไปซึ่งจะเป็นผลทำให้ระบบประมาณค่าความเร็วแกว่งในที่สุด นั่นคือต้องเลือก  $\omega_c < \omega_{mr}$  แต่การเลือก  $\omega_c$  น้อยเกินไปจะทำให้อัตราขยายแบบสัดส่วนมีค่ามากส่งผลต่อการขยายสัญญาณรบกวนในทางปฏิบัติได้ ซึ่งจากแผนภาพโพลรูปที่ 5 จึงควรเลือกความถี่หักมุมอยู่ในช่วง  $50 \leq \omega_c < 295$  rad/s ซึ่งจากการวิเคราะห์เสถียรภาพของระบบประมาณค่าความเร็วทำให้สามารถเลือกค่าอัตราขยายปรับตัวได้อย่างอิสระต่อกันและทำให้ระบบโดยรวมมีเสถียรภาพตลอดย่านการทำงานซึ่งสามารถนำไปประยุกต์ใช้งานในทางปฏิบัติได้จริง

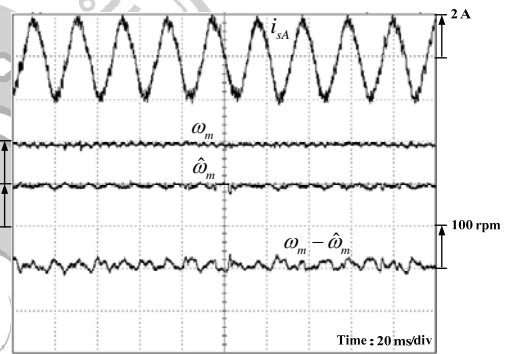


รูปที่ 12 ทดสอบขณะเปลี่ยนแปลงความเร็วรอบของมอเตอร์เมื่อ  $\omega_c > \omega_{mr}$  ( $k_p = 100, k_I = 30000$ )

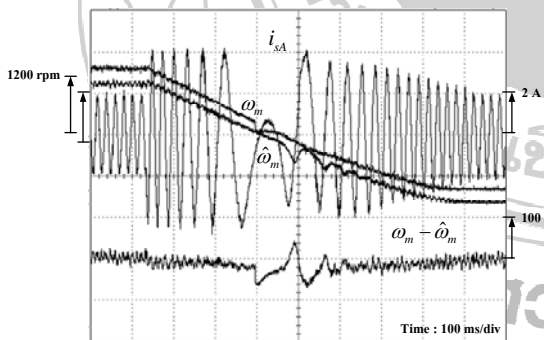


รูปที่ 13 ทดสอบขณะเปลี่ยนแปลงความเร็วรอบของมอเตอร์ เมื่อ  $k_p = 600, k_I = 30000$

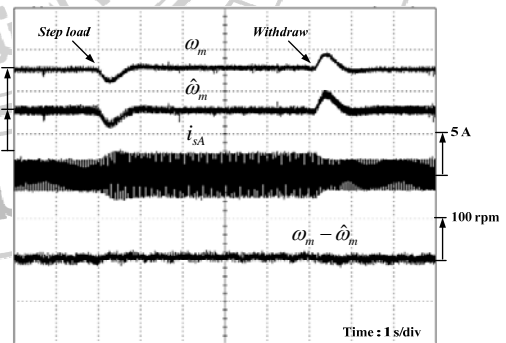
รูปที่ 15 ทดสอบการกลับทิศความเร็วของมอเตอร์ที่ความเร็ว 1430 ถึง -1430 rpm เมื่อ  $k_p = 600, k_I = 30000$



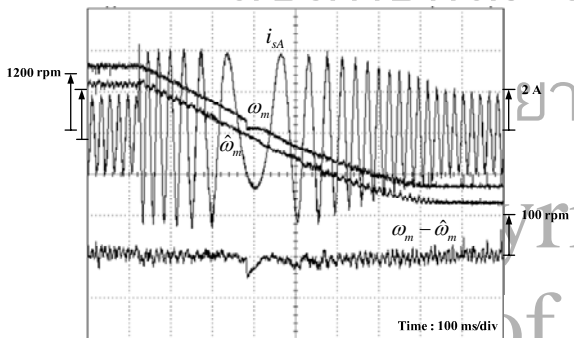
รูปที่ 16 ผลการทดสอบของระบบที่สภาวะอยู่ตัวที่ความเร็วค่าตั้ง 1410 rpm



รูปที่ 14 ทดสอบการกลับทิศความเร็วของมอเตอร์ที่ความเร็ว 1430 ถึง -1430 rpm เมื่อ  $k_p = 600, k_I = 15000$



รูปที่ 17 ผลการทดสอบขณะโอนโหลดและปลดโหลดขนาด 2 Nm. อย่างทันทีทันใดที่ความเร็วค่าตั้ง 1000 rpm



ลิขสิทธิ์คณะวิศวกรรมศาสตร์  
 วิทยาลัยเชียงใหม่  
 Copyright © by  
 Faculty of Engineering  
 Chiang Mai University

เอกสารอ้างอิง

- [1] Bimal K. Bose. Modern Power Electronics and AC Drive. Prentice - Hall, 2002.
- [2] C. Lascu et al. "A Modified Direct Torque Control for Induction Motor Sensorless Drive", IEEE Trans. on Ind. Appl., Vol. 36, No. 1, 2000, pp. 122-130.
- [3] H. Tajima and Y. Hori, "Speed Sensorless Field Orientation Control of the Induction Machine", IEEE Trans. on Ind. Appl., Vol. 29, No. 1, 1993, pp. 175-180.
- [4] C. Schauder. "Adaptive Speed Identification For Vector Control of Induction Motors Without Rotational Transducers", Conf.Record of IEEE/IAS Annual Meeting 1989 , pp. 493-499.
- [5] F.Z. Peng and T. Fukao, "Robust Speed Identification for Speed-Sensorless Vector Control of Induction Motors", IEEE Trans. on Ind. Appl., Vol. 30, No. 5, 1994, pp. 1234-1240.

- [6] S.Sangwongwanich and S.Suwankawin , “A Speed-Sensorless IM Drive with Modified Decoupling Control” ,In Proc.PCC , Vol.1, Nagaoka, Japan, 1997 ,pp. 85-90.



ลิขสิทธิ์คณะวิศวกรรมศาสตร์

มหาวิทยาลัยเชียงใหม่

Copyright©by  
Faculty of Engineering  
Chiang Mai University  
All Rights Reserved